

НАУЧНО-ИССЛЕДОВАТЕЛЬСКОЕ УЧРЕЖДЕНИЕ
ИНСТИТУТ ЯДЕРНОЙ ФИЗИКИ им. Г.И.Будкера СО РАН

В.В. Вечеславов

ДИНАМИКА ГАМИЛЬТОНОВЫХ СИСТЕМ
С КУСОЧНО-ЛИНЕЙНОЙ СИЛОЙ

ИЯФ 2004-54

НОВОСИБИРСК
2004

Динамика гамильтоновых систем с кусочно-линейной силой

*В.В. Вечеславов*¹

Институт ядерной физики им. Г.И. Будкера
630090 Новосибирск, СО РАН

Аннотация

Рассматривается семейство гладких двухпараметрических гамильтоновых систем с кусочно-линейной силой, представленных как в виде отображений, так и в непрерывной форме. Обсуждаются полученные к настоящему времени аналитические и численные результаты исследований обстоятельств возникновения хаоса и глобальной диффузии в таких системах. Описываются динамические эффекты, не имеющие аналогов в классе аналитических гамильтонианов. Проводится сравнение с хорошо изученным случаем возмущенного маятника и подчеркиваются кардинальные различия в динамическом поведении гладких и аналитических систем. Отмечаются нерешенные вопросы.

PACS 05.45.+b

© *Институт ядерной физики им. Г.И. Будкера СО РАН*

¹email: vecheslavov@inp.nsk.su

1 Введение

Двумерные канонические отображения

$$\bar{p} = p + K \cdot f(x), \quad \bar{x} = x + \bar{p} \pmod{1}, \quad (1.1)$$

где K параметр возмущения, уже давно и широко используются в нелинейной физике как весьма удобные и чрезвычайно информативные модели [1,2,3].

Отображение (1.1) можно записать в полностью эквивалентной ему форме непрерывной системы с гамильтонианом, явно зависящим от времени и возмущением в виде толчков [1,2,3]

$$H(x, p, t) = \frac{p^2}{2} + K \cdot V(x) \cdot \delta_1(t) = H_0(x, p) + H_1(x, t), \quad (1.2)$$

где $V(x) = -\int f(x)dx$ есть потенциал силы и $\delta_1(t) = 1 + 2\sum_{n \geq 1} \cos(2\pi nt)$ обозначает δ -функцию периода 1.

Невозмущенная часть

$$H_0 = \frac{p^2}{2} + K \cdot V(x) \quad (1.3)$$

представляет в (1.2) основной (целый) резонанс, а

$$H_1(x, t) = K \cdot V(x)(\delta_1(t) - 1) \quad (1.4)$$

рассматривается как возмущение с периодом $T = 1$ и частотой $\Omega = 2\pi/T = 2\pi$ от всех остальных резонансов.

Основной резонанс (1.3) является интегрируемой системой без всяких признаков хаоса и его сепаратрисы устроены следующим образом. Прежде всего, имеется седло – неподвижная точка, которую следует рассматривать как самостоятельную траекторию (невозмущенный маятник может находиться в ней бесконечно долго). От седла в противоположных направлениях отходят и затем асимптотически к нему же приближаются

еще две траектории (сепаратрисы), каждая из которых является пограничной между вращением фазы (вне резонанса) и ее колебанием (внутри резонанса). На фазовой плоскости в окрестности седла образуется характерный крест с двумя приходящими и двумя уходящими траекториями (см. рис.2.1 в [1]). Условимся называть сепаратрису с положительным импульсом $p_s > 0$ верхней, и с $p_s < 0$ нижней. Следует отметить, что на самом деле обе невозмущенные сепаратрисы состоят из двух пространственно совпадающих траекторий для направлений времени вперед и назад соответственно. Возмущение, как известно, расщепляет каждую сепаратрису на две ветви, которые пересекаются в так называемых гомоклинических точках.

Возмущенная система (1.2) является, как правило, неинтегрируемой и ее фазовое пространство в общем случае оказывается разделенным на хаотическую и регулярную компоненты. Одной из важных для практики задач является выяснение условий образования единой хаотической компоненты и возникновения глобального хаоса. Эти условия в решающей степени определяются функциональными свойствами потенциала основного резонанса $V(x)$.

Создатели теории КАМ с самого начала отмечали, что возникновение глобального хаоса и возможность диффузии по всей единой хаотической компоненте в фазовом пространстве зависят не только от величины, но и от гладкости системы. Гладкость удобно характеризовать скоростью убывания Фурье-амплитуд. Для аналитических функций убывание является экспоненциальным. В этом случае всегда существует пороговая величина K_{tr} и глобальный хаос возникает лишь при $K \gtrsim K_{tr}$. Если же $K \lesssim K_{tr}$, то хаос локализован в относительно узких хаотических слоях (которые образуются при любом $K > 0$) и глобальная диффузия при числе степеней свободы консервативной системы $N \leq 2$ невозможна.

Характер движения существенно изменяется для гладкого потенциала $V(x)$, у которого Фурье-амплитуды убывают как некоторая степень $\beta + 1$ их номера n (см. [4] и ссылки там). В простейшем случае 2D-отображения порог $K_{tr} > 0$ возникновения глобального хаоса существует всегда при $\beta > \beta_{cr} = 3$. Это значение критической гладкости получено из простой оценки в [4], однако оно еще требует проверки в численных экспериментах. Строгое доказательство удалось получить только для $\beta_{cr} = 5$ (см. [5], где было также высказано предположение, что на самом деле $\beta_{cr} = 4$).

Возвращаясь к отображению (1.1) отметим, что оно изучалось для случаев как аналитических, так и гладких функций. Аналитической функции $f(x) = \sin(2\pi x)$, например, отвечает известное стандартное

отображение Чирикова, результаты обширных исследований которого (как и его непрерывного варианта – гамильтониана маятника) внесли заметный вклад в современную нелинейную динамику.

Вместе с тем, гладкие функции до относительно недавнего времени привлекали меньшее внимание. Сейчас ситуация заметно изменилась, поскольку именно в классе гладких функций были обнаружены некоторые новые динамические эффекты, о которых я напомним ниже и которые не имеют места в аналитическом случае.

Настоящая работа посвящена гладким гамильтоновым системам, в которых синусоидальная сила заменена ее кусочно-линейным аналогом – пилою, с показателем гладкости $\beta = 2$ (см. раздел 2). Интересно отметить, что именно для этого показателя ситуация долгое время оставалась неясной и здесь уместно кратко напомнить историю этого вопроса.

Уже в ранних численных экспериментах с системами, гладкость которых была ниже критической $\beta < \beta_{cr} = 3$ наряду с глобальной диффузией наблюдались случаи, когда траектории в течение весьма длительного времени счета не выходили за пределы некоторой ограниченной части фазового пространства [6,7]. Однако, это было не более чем подозрение на подавление или ослабление диффузии. Строгий результат здесь был получен Булитом [8]. Для симметричного кусочно-линейного 2D-отображения (СКЛО) с $\beta = 2$ Булит доказал существование глобальных инвариантных кривых как с иррациональными, так и с рациональными числами вращения (см. также [9]). Такие глобальные инвариантные кривые имеют полную протяженность по фазе, что исключает неограниченную диффузию по действию.

В работе [8] впервые было показано, что среди инвариантных кривых с рациональными числами вращения присутствуют также неразрушенные сепаратрисы целых и дробных нелинейных резонансов. Особенно важным и неожиданным оказался тот факт, что система при этом отнюдь не становится интегрируемой и сепаратрисы сохраняются и запирают глобальную диффузию в условиях сильного локального хаоса. Этот пример Булита опровергает чрезвычайно распространенное представление о том, что поскольку период движения по сепаратрисам бесконечен и взаимодействие резонансов здесь всегда существенно, то возмущение в первую очередь разрушает именно сепаратрисы резонансов и порождает на их месте хаотические слои [1,2,3].

По непонятным причинам эта важная и интересная работа Булита не получила в свое время широкой известности и значительно позже для той же самой модели СКЛО аналогичная теорема была независимо доказана Овсянниковым [10]. Он не только указал счетное множество

значений параметра K , при которых в условиях локального хаоса сохраняются сепаратрисы целых резонансов, но и нашел для них явное (и очень простое) выражение. Именно сообщение Овсянникова послужило для нас толчком к интенсивному исследованию СКЛО и его модификаций, результаты которых представлены в работах [11-17]. К сожалению, теорема Овсянникова нигде не была опубликована и с разрешения автора мы поместили ее полный текст в приложениях к работам [12,13]). Замечу попутно, что в первых публикациях [11,12] на эту тему статья Булита не упоминается по той простой причине, что тогда она еще не была мне известна.

Следует подчеркнуть, что математические работы Булита и Овсянникова ограничены исследованием только самих инвариантных кривых нового типа, так как в противном случае две ветви расщепленных сепаратрис образуют не поддающиеся аналитическим исследованиям случайные траектории (это может быть сделано только в эксперименте – численном [11-17] или физическом).

Каждой инвариантной кривой в СКЛО отвечает определенное значение параметра возмущения K . В работе [11] предложено называть такие значения критическими и обозначать их символом $K_{Q,n}$, где Q означает номер резонанса ($Q = 1$ – целый, $Q \geq 2$ – дробный), а n порядковый номер этого критического числа. Например, для критических чисел целого резонанса по теореме Овсянникова имеем

$$K_{1,n} = \sin^2(\alpha_n/2), \quad n = 1, 2, \dots, \quad (1.5)$$

где α_n есть наименьший положительный корень уравнения

$$\sqrt{2} \sin(n\alpha/2) = \cos(\alpha/2). \quad (1.6)$$

В работах [11-14] при численном отыскании критических чисел $K_{Q,n}$ использовался тот факт, что в случае кусочно–линейной силы именно для этих чисел угол пересечения ветвей сепаратрис в центральной гомоклининой точке проходит через нуль (для нечетных номеров n плавно, для четных скачком меняет знак, см. рис.1 в [12]). В литературе уже отмечался тот факт, что из всех атрибутов хаоса только этот угол может быть измерен сколь угодно точно. Надо заметить, что в общем случае обращение угла пересечения сепаратрис в нуль не является признаком их обязательного сохранения. В [17] приведен пример, когда ветви расщепившихся сепаратрис лишь касаются в гомоклининой точке, которая при этом оказывается точкой перегиба.

Множество всех критических чисел является канторовым (см. рис.2,3 в [8]) и имеются интервалы значений параметра K , где глобальная диффузия определенно имеет место (один такой интервал $0.2295 < K < 0.2500$ для $d = 1/2$ указан в [8]).

Дальнейшее изучение показало, что каждая из обнаруженных Булитом глобальных инвариантных кривых (включая нерасщепленные сепаратрисы целых и дробных резонансов), возникающая при точном значении параметра $K_{Q,n}$, на самом деле существенно искажает структуру фазовой плоскости и в некоторой конечной окрестности этого значения. Это дало основание в работе [15] предложить новый термин – виртуальная инвариантная кривая. Наличие таких виртуальных кривых приводит к совершенно новому и очень сложному типу транспортного процесса в гладкой системе – так называемой фрактальной диффузии, изучение которой только началось (см. [15,16] и раздел 6).

Выше уже отмечалась важная роль, которая в нелинейной динамике принадлежит стандартному отображению и его непрерывному варианту – гамильтониану возмущенного маятника. При разработке теории хаотического слоя маятника Чириков широко использовал введенные им интегралы Мельникова-Арнольда, которые определяют величину амплитуды отвечающего за формирование хаотического слоя сепаратрисного отображения системы во всем диапазоне частот возмущений [1].

При исследовании гладких систем с кусочно-линейной силой также оказалось очень полезным наряду с отображением (1.1) рассматривать непрерывный гамильтониан (раздел 2). Аналитические выражения интегралов Мельникова-Арнольда для этого случая впервые, насколько мне известно, были введены в работах [13,17]. Они полностью отражают весьма своеобразную динамическую специфику системы, включая наличие критических чисел и сохранение сепаратрис в условиях локального хаоса. Знание этих интегралов используется ниже для выяснения деталей формирования хаоса (раздел 3).

Полученные для непрерывной системы с кусочно-линейной силой результаты сравниваются с хорошо изученным случаем возмущенного маятника и отмечаются сходства и различия в динамическом поведении этих двух систем (разделы 4,5).

В разделе 6 дается краткий обзор результатов начатых недавно исследований по фрактальной диффузии в гладких системах.

2 Гамильтониан задачи

Наряду с отображением (1.1) рассмотрим также непрерывную систему с гамильтонианом вида

$$H(x, p, t) = H_0(x, p) + U(x, t), \quad H_0(x, p) = \frac{p^2}{2} + \omega_0^2 V(x), \quad (2.1)$$

и двухчастотным, в общем случае несимметричным, возмущением

$$U(x, t) = \varepsilon_1 \cos(2\pi m_1 x - \Omega_1 t) + \varepsilon_2 \cos(2\pi m_2 x - \Omega_2 t), \quad (2.2)$$

где m_1, m_2 целые числа и $\varepsilon_1, \varepsilon_2 \ll 1$.

Оба члена в (2.2) также являются резонансами. Будем всегда полагать первую частоту положительной $\Omega_1 > 0$ и называть ее верхней гармоникой возмущения (на фазовой плоскости она находится выше основного резонанса). Второй член в (2.2) при $\Omega_2 < 0$ будем считать по аналогии нижней гармоникой.

Потенциал системы (2.1) $V(x) = 1/4 - \int f(x) dx$ порождается антисимметричной $f(-x) = -f(x)$ кусочно-линейной силой с периодом 1

$$f(x) = \begin{cases} 2x/(1-d), & \text{если } 0 \leq x < (1-d)/2, \\ (1-2x)/d, & \text{если } (1-d)/2 \leq x \leq (1+d)/2, \\ 2(x-1)/(1-d), & \text{если } (1+d) < x < 1. \end{cases} \quad (2.3)$$

Он может быть представлен своим рядом Фурье [15]

$$V(x) = \frac{1}{4} + \sum_{n \geq 1} \frac{f_n}{2\pi n^{\beta+1}} \cos(2\pi n x), \quad f_n = -\frac{2}{\pi^2} \frac{\cos(n\pi) \sin(n\pi d)}{d(1-d)}, \quad (2.4)$$

где $\beta = 2$ есть показатель гладкости.

Формулы (2.3), (2.4) содержат параметр перекоса d , что позволяет исследовать сразу целое семейство пилообразных зависимостей [8,14]. К настоящему времени наиболее полно изучен случай СКЛЮ с $d = 1/2$. Отметим, что обнаруженные в [8,10-17] новые динамические эффекты и глобальные инвариантные кривые имеют место во всем открытом интервале $0 < d < 1$ значений параметра перекоса при следующем найденном в [8] условии на параметр возмущения K (1.1):

$$K \leq K_B(d) = \frac{2d^2}{1+d}. \quad (2.5)$$

При $K > K_B$ глобальные инвариантные кривые в системе (1.1),(2.3) полностью отсутствуют.

Из формул (2.4) для особого случая разрывной пилы $d = 0$ предельным переходом получаем

$$f_n = -\frac{2}{\pi} \cos(n\pi), \quad \beta = 1. \quad (2.6)$$

Видно, что показатель гладкости системы β в пределе $d = 0$ на единицу меньше его значения внутри интервала и оба они меньше критической величины $\beta_{cr} = 3$. В этом случае движение оказывается эргодическим, инвариантные кривые полностью отсутствуют и глобальная диффузия происходит при любом $K > 0$. Заметим попутно, что обратный предел $d = 1$ неинтересен, поскольку движение при этом становится регулярным [14].

Характерной особенностью силы (2.3) является наличие на ее периферии двух участков: с отрицательной ("эллиптический" участок) и положительной ("гиперболический" участок) значениями производной df/dx . На границах этих участков имеет место сингулярность – разрыв первой производной.

Движение по верхней невозмущенной сепаратрисе ($\varepsilon_1 = \varepsilon_2 = 0$) описывается функцией безразмерного времени $\psi = 2\omega_0 t$ вида

$$x_s(\psi_s) = \begin{cases} A_d \exp(\psi_s/\sqrt{2(1-d)}), & \text{если } -\infty < \psi_s < -\psi_{s,1}, \\ (1 + \sqrt{d} \sin(\psi_s/\sqrt{2d}))/2, & \text{если } -\psi_{s,1} \leq \psi_s \leq \psi_{s,1}, \\ 1 - A_d \exp(-\psi_s/\sqrt{2(1-d)}), & \text{если } \psi_{s,1} < \psi_s < \infty, \end{cases} \quad (2.7)$$

импульс находится дифференцированием $p_s = \dot{x} = 2\omega_0 dx_s/d\psi_s$ и использованы обозначения

$$\psi_{s,1} = \sqrt{2d} \arcsin \sqrt{d}, \quad A_d = \frac{(1-d)}{2} \exp\left(\frac{\psi_{s,1}}{\sqrt{2(1-d)}}\right). \quad (2.8)$$

Относительное отклонение от невозмущенной сепаратрисы по энергии обозначено $w = H_0/H_{0,s} - 1$ при значении гамильтониана на сепаратрисе $H_{0,s} = \omega_0^2/4$. Период движения T_0 вблизи сепаратрисы вычисляется по формуле

$$T_0(w) = 2T_{s,1} + \frac{1}{\omega_2} \ln \frac{4\sqrt{1-d} \cos(\omega_1 T_{s,1})}{|w|}, \quad (2.9)$$

где

$$\omega_1 = \omega_0 \sqrt{\frac{2}{d}}, \quad \omega_2 = \omega_0 \sqrt{\frac{2}{1-d}}, \quad T_{s,1} = \frac{\arcsin \sqrt{d}}{\omega_1} \quad (2.10)$$

При численном определении размеров хаотического слоя используется связь относительной энергии w с периодом движения T_0 , которая описывается обратной к (2.9) зависимостью

$$w(T_0) = 4 \sqrt{(1-d)} \cos(\omega_1 T_{s,1}) \exp(-\omega_2 (T_0 - 2 T_{s,1})), \quad (2.11)$$

Вывод формул (2.7)–(2.11) можно найти в работе [17].

В следующих разделах мы будем сравнивать обстоятельства возникновения хаоса в исследуемых гладких системах со случаем хорошо изученного возмущенного маятника, гамильтониан которого запишем в виде

$$H(x, p, t) = \frac{p^2}{2} + \cos(x) + U(x, t), \quad (2.12)$$

где частота малых колебаний принята за единицу и возмущение в общем случае определяется выражением (2.2).

3 Интеграл Мельникова-Арнольда для системы (2.1)

Возмущение, как известно, в общем случае разрушает сепаратрисы основного резонанса и образует на их месте хаотический слой, в котором следует различать три части: 1) верхняя – вращение фазы при $p > 0$, 2) средняя – колебания фазы и 3) нижняя – вращение фазы при $p < 0$. При несимметричном возмущении размеры этих частей могут сильно различаться. Заметим, что верхняя часть слоя формируется под влиянием в основном верхних резонансов, нижняя под влиянием нижних, а средняя – тех и других (см. рис.2 в [17]). Мы будем для определенности как правило исследовать верхнюю часть хаотического слоя.

Рассмотрим пока одну верхнюю гармонику в возмущении (2.2) и, следуя описанной в [1] методике, будем искать вызванное этой гармоникой изменение невозмущенной энергии H_0 за полупериод колебаний или период вращения:

$$\begin{aligned} \Delta H_0 &= \int_{-\infty}^{\infty} \{H, H_0\} dt = -\varepsilon_1 \int_{-\infty}^{\infty} p(t) \frac{\partial U}{\partial x} dt \\ &= 2\pi m \varepsilon_1 \int_{-\infty}^{\infty} p(t) \sin(2\pi m_1 x - \tau - \tau_0) dt = 2\pi m_1 \varepsilon_1 \sin \tau_0 W_{MA}, \end{aligned}$$

где $\{, \}$ скобка Пуассона, $\tau = \Omega_1 t$ и W_{MA} интеграл Мельникова-Арнольда

$$W_{MA} = - \int_{-\infty}^{\infty} p_s(t) \cos[2\pi m_1 x_s(t) - \Omega_1 t] dt. \quad (3.1)$$

Здесь учтена только четная функция в разложении $\sin(2\pi m_1 x - \tau - \tau_0)$ и предположено, что система движется вблизи невозмущенной сепаратрисы.

Заметим попутно, что входящий в подынтегральное выражение (3.1) множитель p_s снимает известную проблему специальной нормировки этого интеграла для подавления его осциллирующей части, поскольку при движении по невозмущенной сепаратрисе асимптотически стремится к нулю на обоих бесконечных пределах интегрирования (подробности в разделе 4.4 обзора [1]).

Амплитуда гармоника сепаратрисного отображения частоты Ω полностью определяется свойствами и поведением интеграла Мельникова-Арнольда, поскольку пропорциональна ему

$$W = \pm \max |\bar{w} - w| = \pm \frac{\Delta H_0}{H_{0,s}} = \frac{8\pi m \varepsilon}{\omega_0^2} W_{MA}. \quad (3.2)$$

Переходя к безразмерному времени $\psi = 2\omega_0 t$ и вычисляя соотношение (3.1) вдоль невозмущенной сепаратрисы (2.7), находим, что вклад верхней гармоники возмущения в верхнюю часть хаотического слоя определяется выражением:

$$\begin{aligned} W_{MA}(\lambda_1 > 0) &= \frac{1}{\sqrt{2}} \int_0^{\psi_{s,1}} \cos\left(\frac{\psi}{\sqrt{2d}}\right) \cos\left[\pi m_1 \sqrt{d} \sin\left(\frac{\psi}{\sqrt{2d}}\right) - \lambda_1 \psi\right] d\psi \\ &\quad - A_d \sqrt{\frac{2}{1-d}} \int_{\psi_{s,1}}^{\infty} \exp\left(\frac{-\psi}{\sqrt{2(1-d)}}\right) \\ &\quad \times \cos\left[2\pi m_1 A_d \exp\left(\frac{-\psi}{\sqrt{2(1-d)}}\right) + \lambda_1 \psi\right] d\psi, \end{aligned} \quad (3.3)$$

где $\lambda_1 = \Omega_1/2\omega_0$ есть параметр адиабатичности [1].

Нетрудно проверить, что для вычисления вклада нижней гармоники возмущения в верхнюю часть хаотического слоя вместо (3.3) надо использовать формулу

$$\begin{aligned}
W_{MA}(\lambda_2 < 0) = & -\frac{1}{\sqrt{2}} \int_0^{\psi_{s,1}} \cos\left(\frac{\psi}{\sqrt{2d}}\right) \cos\left[\pi m_2 \sqrt{d} \sin\left(\frac{\psi}{\sqrt{2d}}\right) + |\lambda_2| \psi\right] d\psi \\
& + A_d \sqrt{\frac{2}{1-d}} \int_{\psi_{s,1}}^{\infty} \exp\left(\frac{-\psi}{\sqrt{2(1-d)}}\right) \\
& \times \cos\left[2\pi m_2 A_d \exp\left(\frac{-\psi}{\sqrt{2(1-d)}}\right) - |\lambda_2| \psi\right] d\psi, \quad (3.4)
\end{aligned}$$

где $\lambda_2 = \Omega_2/2\omega_0$.

Полная амплитуда сепаратрисного отображения для верхней части слоя определяется с помощью (3.2) как сумма вкладов в эту часть слоя от всех входящих в возмущение гармоник. В следующих двух разделах мы используем полученные здесь соотношения для анализа поведения системы (2.1) с симметричным и несимметричным возмущением (2.2).

4 Симметричное возмущение

Выберем параметры возмущения (2.2) так, чтобы сделать его симметричным

$$\varepsilon_1 = \varepsilon_2 = \varepsilon, \quad m_1 = m_2 = m, \quad \Omega_1 = -\Omega_2 = \Omega. \quad (4.1)$$

Вначале напомним особенности образования хаоса в зависимости от частоты симметричного возмущения в случае маятника (2.12). Весь диапазон частот условно разбивается на участки низких частот, средних или умеренных частот и высокочастотный.

Исследования Чирикова, выполненные в [1], показали, что в высокочастотном пределе $\Omega \rightarrow \infty$ амплитуда W сепаратрисного отображения и энергетический размер хаотического слоя с ростом частоты убывают экспоненциально и что все три части слоя имеют при этом одинаковую ширину

$$w_{tp} = |w_{md}| = w_{bt} = \lambda W, \quad (4.2)$$

где для маятника (2.12) $\lambda \equiv \Omega$ и $w = p^2/2 + \cos x - 1$ – относительное отклонение от невозмущенной сепаратрисы по энергии.

В недавней работе [18] также для симметричного возмущения маятника рассматривалась низкочастотная асимптотика $\Omega \rightarrow 0$ и было найдено, что в этом случае амплитуда сепаратрисного отображения растет линейно с частотой, а ширина слоя вообще от нее не зависит.

Обе эти асимптотики $\Omega \gg 1$ и $\Omega \ll 1$ устроены относительно просто и наиболее трудной для анализа является область средних частот, где отсутствует какой-либо малый (или большой) параметр адиабатичности. Основная трудность здесь состоит в том, что размер хаотического слоя в этой области оказывается разрывной функцией амплитуды сепаратрисного отображения W (см. рис.1 в [20]). Такая структура в рамках современной динамики объясняется тем, что с ростом W происходит последовательное разрушение инвариантных кривых с иррациональными числами вращения. Если такая кривая является границей между основным хаотическим слоем и ближайшим к нему резонансом сепаратрисного отображения, то при ее разрушении происходит слияние этих объектов и размер слоя прирастает на конечную величину – фазовый объем присоединившегося резонанса.

Весьма полезными здесь оказались так называемые резонансные инварианты, которые неплохо передают топологию отдельных резонансов. Техника построения и примеры использования таких инвариантов первых трех порядков, соответствующих резонансам 1:1, 1:2 и 1:3, предложены для стандартного отображения Чирикова в работе [19] и для одночастотного сепаратрисного отображения в [20]. В настоящей статье мы не будем затрагивать область средних частот, которая требует специального рассмотрения.

Вернемся вновь к гладкой системе и выясним особенности образования хаоса при низких и высоких частотах. Суммируя вклады от обеих гармоник, получаем выражение результирующего интеграла Мельникова-Арнольда для верхней части слоя

$$\begin{aligned}
 W_{MA}(\lambda) = & \sqrt{2} \int_0^{\psi_{s,1}} \cos\left(\frac{\psi}{\sqrt{2d}}\right) \sin\left[\pi m \sqrt{d} \sin\left(\frac{\psi}{\sqrt{2d}}\right)\right] \sin \lambda \psi d\psi \\
 & + 2 A_d \sqrt{\frac{2}{1-d}} \int_{\psi_{s,1}}^{\infty} \exp\left(\frac{-\psi}{\sqrt{2(1-d)}}\right) \\
 & \times \sin\left[2\pi m A_d \exp\left(\frac{-\psi}{\sqrt{2(1-d)}}\right)\right] \sin \lambda \psi d\psi, \quad (4.3)
 \end{aligned}$$

где $\lambda = \Omega/2\omega_0$. Первое слагаемое в этой формуле описывает вклад от "эллиптического" участка силы (2.3), второе – от остальной части.

Начнем со случая $\lambda \rightarrow 0$. Выполним в обеих частях (4.3) замену $\sin \lambda \psi \rightarrow \lambda \psi$, вынесем λ за знак интеграла и найдем, что в низкочастотном пределе интеграл Мельникова-Арнольда (а значит и амплитуда

сепаратрисного отображения W) растет линейно с частотой

$$W \sim W_{MA} \sim \lambda. \quad (4.4)$$

Подчеркнем, что учет бесконечных пределов интегрирования в (4.3) ничего не меняет, поскольку, как отмечено выше, вклад "хвостов" этого интервала подавлен асимптотически стремящейся к нулю величиной импульса на невозмущенной сепаратрисе.

В работе [18] показано, что если амплитуда сепаратрисного отображения растет линейно с частотой, то ширина хаотического слоя от нее не зависит. Рис.1, построенный для симметричной системы (2.1), (2.2) с параметрами $\varepsilon_1 = \varepsilon_2 = 0.01$, подтверждает этот факт и мы убеждаемся, что в низкочастотном пределе система с кусочно-линейной силой и маятник ведут себя качественно одинаково.

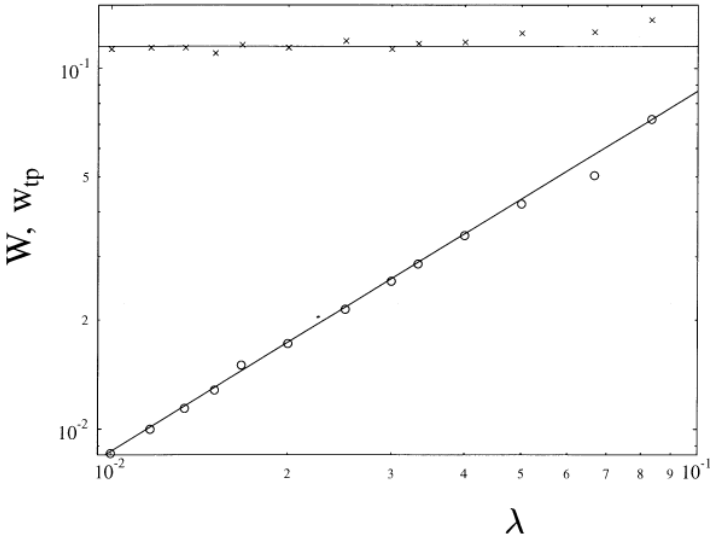


Рис. 1: Низкочастотная асимптотика $\Omega \rightarrow 0$ системы (2.1) при симметричном возмущении. Кружки - полученные численно амплитуды сепаратрисного отображения W . Кресты - размер верхней части хаотического слоя w_{tp} , найденный с помощью итераций сепаратрисного отображения. Сплошная наклонная прямая есть интеграл Мельникова-Арнольда, построенный по формуле (4.3) и умноженный на подгоночный множитель 0.75.

Любопытной особенностью системы (2.1) является то, что ее сепаратрисное отображение при $\lambda \ll 1$ содержит две гармоники – с одинарной и двойной частотой и близкими амплитудами. В области средних частот вторая гармоника исчезает и сепаратрисное отображение становится одночастотным. Напомним, что у маятника все наоборот: двойная частота имеет место только в области средних частот и исчезает при подходе к обоим асимптотическим участкам $\lambda \rightarrow 0$ и $\lambda \rightarrow \infty$ [21].

Перейдем к анализу случая высокой частоты $\Omega \rightarrow \infty$, где картина резко и качественно меняется. В этом пределе оба слагаемых в (4.3) оказываются колебательными и знакопеременными, их колебания находятся почти в противофазе. Результирующая функция $W_{MA}(\lambda)$ также является знакопеременной и колебательной (см. ниже рис.2).

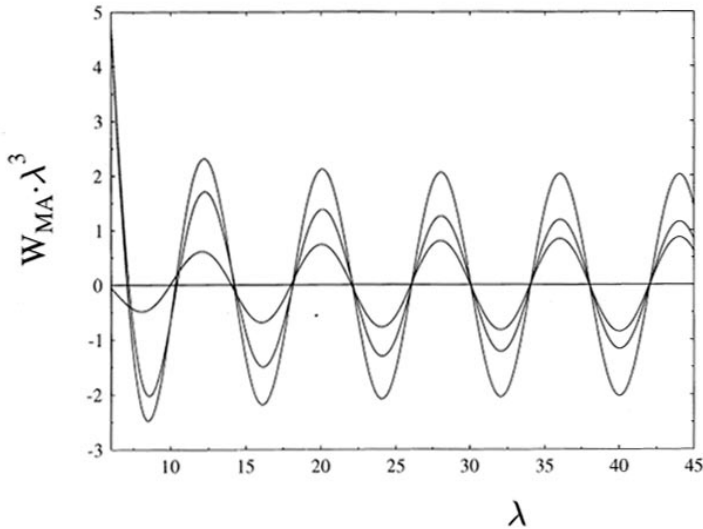


Рис. 2: Высокочастотная асимптотика $\Omega \rightarrow \infty$ системы (2.1) при симметричном возмущении. Внешняя кривая описывает совместное действие верхней и нижней гармоник возмущения, средняя - одной верхней и внутренней одной нижней гармоник.

В работе [17] выполнены некоторые асимптотические ($\lambda \rightarrow \infty$) оценки интегралов Мельникова-Арнольда (3.3), (3.4), которые позволяют сделать следующие выводы.

Эти интегралы при $\lambda \gg 1$ оказываются периодическими по λ функциями

$$W_{MA}(\lambda) \approx (-1)^m \frac{|\lambda|^{-3}}{4d} \sqrt{\frac{1-d}{2}} \left[1 \pm \pi |\lambda|^{-1} \sqrt{\frac{1-d}{2}} \right] \sin(\pi m d \mp |\lambda| \psi_{s,1}), \quad (4.6)$$

(верхние знаки отвечают верхней гармонике) с периодом

$$T_\lambda = \frac{2\pi}{\psi_{s,1}} = \frac{\pi}{\arcsin \sqrt{d}} \sqrt{\frac{2}{d}}, \quad (4.7)$$

На рис.2 построены зависимости приведенного интеграла Мельникова-Арнольда $W_{MA}^* = W_{MA} \cdot \lambda^3$ для симметричной пилы $d = 1/2$. При значениях $d \neq 1/2$ характер этих зависимостей остается таким же, но гармоники сдвигаются по фазе. Видно, что формулы (4.6) качественно правильно передают характер этих зависимостей, хотя и нуждаются в числовых поправках.

Выполненное в [13] итерирование сепаратрисного отображения для полученных через интеграл Мельникова-Арнольда амплитуд показало, что найденная Чириковым связь (4.2) между шириной хаотического слоя и амплитудой сепаратрисного отображения W неплохо выполняется и для гладкой системы

$$w_{tp} \approx \lambda |W|, \quad (4.8)$$

причем даже в окрестности нулевых W . При $\lambda = \Omega/2\omega_0 > 10$, например, имеет место неравенство $0.94 \leq w_{tp}/\lambda |W| \leq 1.3$

Полученные выше для непрерывной гладкой системы (2.1) результаты можно прямо связать с отображением (1.1) [13]. Будем называть критическими те значения $\lambda_{1,n}$, $n = 1, 2, \dots$, при которых интеграл Мельникова-Арнольда проходит через нуль $W_{MA}(\lambda_{1,n}) = 0$ (первый индекс относится к основному резонансу). Чтобы перевести непрерывную систему (2.1) с параметром λ в отображение (1.1) с параметром K или наоборот, надо воспользоваться соотношением

$$K = \omega_0^2 = \left(\frac{\pi}{\lambda}\right)^2, \quad n = 1, 2, \dots$$

Последнее равенство позволяет пересчитать критические значения $\lambda_{1,n}$ непрерывной системы в критические значения параметра отображения. Обозначив найденные путем такого пересчета величины через K^* , получим

$$K_{1,n}^* = \left(\frac{\pi}{\lambda_{1,n}}\right)^2, \quad n = 1, 2, \dots$$

Эти числа следует сравнить с величинами $K_{1,n}$, вычисленными по формулам Овсянникова (1.5), (1.6). Результат такого сравнения хорошо описывается приближенной формулой

$$\frac{K_{1,n}}{K_{1,m}^*} \approx 1 + 0.676 n^{-0.875}, \quad n = 1, 2, \dots$$

В асимптотическом пределе ($n \gg 1$) множества $K_{1,n}$ и $K_{1,n}^*$ совпадают, что и оправдывает применение полученных здесь результатов в отношении отображения (1.1).

Найденные при $\Omega \gg 1$ для гладкой системы периодические зависимости с убывающей по степенному закону $\sim \lambda^{-3}$ амплитудой резко отличаются от случая аналитического потенциала, где $W_{MA}(\lambda)$ всегда монотонная и экспоненциально убывающая функция λ . Более того, при одинаковых по модулю частотах вклад нижней гармоники в верхнюю часть хаотического слоя меньше вклада верхней гармоники в $\exp(-\pi |\lambda|)$ раз [1]. В системе с кусочно-линейной силой все не так – с ростом частоты вклады в сепаратрисное отображение верхней и нижней гармоник сближаются. Столь глубокие различия двух обсуждаемых типов систем связаны, по-видимому, с существенно разным расположением сингулярностей интеграла Мельникова-Арнольда: для гладкого потенциала они находятся на действительной оси времени, а для маятника в комплексной плоскости.

5 Несимметричное возмущение

Несимметричное возмущение (2.2) с высокими частотами $\Omega_1, |\Omega_2| \gg 1$, насколько мне известно, впервые было рассмотрено в работах [22,23] на примере гамильтониана маятника (2.12). Именно в этом случае в возмущении на комбинациях первичных (явно входящих в гамильтониан) частот возникают вторичные гармоники порядка $\sim \varepsilon_1 \cdot \varepsilon_2$

$$\Delta\Omega_+ = \Omega_1 + \Omega_2, \quad \Delta\Omega_- = \Omega_2 - \Omega_1, \quad (5.1)$$

которые при $\varepsilon_1, \varepsilon_2 \ll 1$ оказываются много слабее первичных.

Уже первые численные эксперименты с этой системой позволили обнаружить тот удивительный на первый взгляд факт, что именно эти весьма слабые вторичные гармоники возмущения при определенных условиях полностью определяют амплитуду сепаратрисного отображения и размер хаотического слоя.

В работе [23] дан пример такой системы с параметрами $\varepsilon_1 = \varepsilon_2 = 0.075$, $\Omega_1 = 13$, $\Omega_2 = -10$, причем образующаяся на сумме частот $\Delta\Omega_+ = 3$ вторичная гармоника имела в возмущении амплитуду $\approx 4.5 \cdot 10^{-5}$, что в ~ 1700 раз меньше амплитуд первичных гармоник. Несмотря на это, ее вклад в амплитуду отвечающего за образование хаоса сепаратрисного отображения верхней части слоя превысил суммарный вклад от первичных гармоник почти в 400 раз. Размеры и спектральный состав отдельных частей слоя оказались при этом существенно различными. Все это есть следствие упоминавшейся выше экспоненциальной зависимости ширины хаотического слоя маятника от частоты при $\Omega \gg 1$, что и позволяет очень слабым, но низкочастотным вторичным гармоникам решающим образом влиять на образование хаоса.

Для гладкой системы такая же картина имеет место в отношении гармоник на сумме частот, в то время как на разности эффект оказывается заметно слабее, чем для маятника [17].

Амплитуды вторичных гармоник возмущения заранее неизвестны и их необходимо найти. Строгая теория здесь пока отсутствует, однако общий подход к проблеме и способ получения приближенных аналитических соотношений был предложен в работе [22]. Следуя этой работе (см. также [17]), необходимо сделать в (2.1), (2.2) замену переменных, введя вместо координаты $x(t)$ и импульса $p(t)$ их отклонения от значений на невозмущенной сепаратрисе $x_s(t)$, $p_s(t)$ (2.7). Считая эти отклонения малыми и пренебрегая членами порядка выше второго, можно показать, что в возмущении появляются вторичные гармоники как на сумме частот

$$\varepsilon_+ \cos(2\pi m_+ x_s - \Delta\Omega_+ t), \quad \varepsilon_+ = -2\pi^2 \varepsilon_1 \varepsilon_2 m_1 m_2 \left[\frac{m_2}{\Omega_1^2} + \frac{m_1}{\Omega_2^2} \right], \quad (5.2)$$

где $m_+ = m_1 + m_2$, так и на их разности

$$\varepsilon_- \left[\cos(2\pi m_- x_s - \Delta\Omega_- t), \quad \varepsilon_- = -2\pi^2 \varepsilon_1 \varepsilon_2 m_1 m_2 \left[\frac{m_1}{\Omega_2^2} - \frac{m_2}{\Omega_1^2} \right] \right], \quad (5.3)$$

где $m_- = m_2 - m_1$ (при выводе последних формул предполагались выполненными неравенства $|\Omega_{1,2}| \gg 2\pi m_{1,2} p_{s,max}$).

Ограничимся наиболее интересным случаем суммы частот и будем рассматривать близкие по модулю первичные частоты. Возникающая при этом вторичная гармоника оказывается низкочастотной и предстоит выяснить, следует ли она зависимостям, найденным в предыдущем разделе при $\lambda \ll 1$ для первичных частот в симметричном случае.

Вначале рассмотрим систему (2.1), (2.2) с высокочастотным симметричным возмущением

$$\omega_0^2 = 0.09, \quad \varepsilon_1 = \varepsilon_2 = 0.05, \quad m_1 = m_2 = 1, \quad \Omega_1 = 30.0, \quad \Omega_2 = -30. \quad (5.4)$$

Картинка построенного численно (подробности в [22]) сепаратрисного отображения выглядит чистой синусоидой с амплитудой $W = 1.65 \cdot 10^{-4}$. Итерации этого отображения показали, что размеры всех трех частей слоя одинаковы и равны $w_{tp} = |w_{md}| = w_{bt} \approx 0.013$.

Сделаем теперь возмущение слегка несимметричным, изменив частоту нижней гармоники и породив тем самым низкочастотную вторичную гармонику на сумме частот

$$\Omega_1 = 30.0, \quad \Omega_2 = -29.5, \quad \Delta\Omega_+ = 0.5. \quad (5.5)$$

Результат численного построения сепаратрисного отображения для системы (2.1), (5.5) представлен на рис.3 (где t_π – моменты прохождения положения устойчивого равновесия $x = 0.5$, см. [22]). Здесь также изоб-

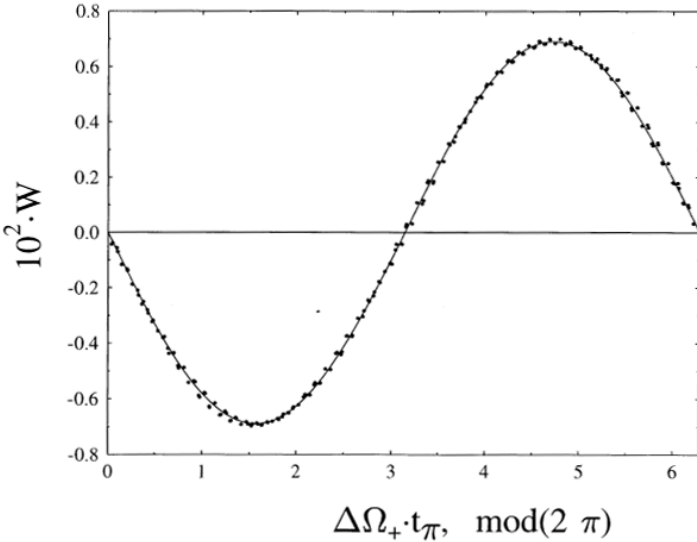


Рис. 3: Сепаратрисное отображение системы (2.1) с несимметричным возмущением (5.5). Точки - численный счет, сплошная линия есть результат подгонки наименьшими квадратами.

ражена полученная по методу наименьших квадратов синусоида, но с амплитудой $W = 6.91 \cdot 10^{-3}$ и, что самое главное, с совершенно другой частотой $\Delta\Omega_+ = 0.5$. Размер верхней части слоя также увеличился почти в сорок раз $w_{tp} \approx 0.50$. Спектральный анализ показал, что суммарный вклад первичных гармоник составил менее двух процентов. Возникает впечатление, что в возмущении нет двух высокочастотных гармоник, а есть одна низкочастотная (факт, получивший полное численное подтверждение в работе [23]).

Видно, что качественно повторяется картина, которая имеет место и для маятника. Слабые, но низкочастотные вторичные гармоники "перехватывают инициативу" у первичных в формировании хаоса.

Дополнительные исследования показали также, что для очень низкочастотных вторичных гармоник, как и для первичных в случае симметричного возмущения, амплитуда сепаратрисного отображения растет линейно с частотой, а размер верхней части хаотического слоя практически от нее не зависит.

6 Фрактальная диффузия в системе (1.1), (2.3)

В этом разделе кратко излагаются основные результаты двух работ [15,16], выполненных под руководством Чирикова. В первой изучалась статистика скорости диффузии $\langle D(K) \rangle$, усредненной по ансамблю траекторий со случайными начальными условиями. Во второй исследовались индивидуальные траектории при заданном значении возмущения K и в качестве характеристики использовалось интегральное распределение $F(D)$.

Вначале обсудим особый случай $d = 0$, $\beta = 1$ (см. (2.6)). Движение при этом является эргодическим, глобальная диффузия имеет место при любом $K > 0$, инвариантные кривые и критическая структура отсутствуют (на самом деле вопрос о критической структуре здесь совсем не так прост, как кажется на первый взгляд и мы вернемся к нему в конце этого раздела).

Оценки скорости диффузии для $d = 0$, построенные в предположении резонансной структуры движения с помощью критерия перекрытия резонансов, оказались неожиданно аккуратными. Так, по формуле (4.3) из [15] с поправкой $C_s = 1.2$ находим

$$D(K) = \frac{\overline{(\Delta p)_t^2}}{t} \approx \frac{256}{\pi^5} K^{5/2} \approx 0.57 K^{5/2}, \quad (6.1)$$

где t – число итераций отображения в предположении $K \ll 1$. Последнее выражение в (6.1) есть результат интенсивного счета, выполненного в [24] и подтвержденного в [15] для $K \leq 0.1$.

Зависимость (6.1) $D(K) \propto K^{5/2}$ отличается от $D(K) \propto K^2$ (см. (6.2)), что объясняется динамическими корреляциями за время, определяемое частотой фазовых колебаний нелинейного резонанса.

В противоположном предельном случае $K \gg 1$, когда корреляциями между последовательными величинами x можно пренебречь, мы приходим к "обычному" выражению для скорости диффузии

$$D(K) = K^2 \int_0^1 f^2(x) dx = \frac{K^2}{3} \quad (6.2)$$

Зависимость скорости диффузии от времени можно представить в виде

$$D(K; t) \sim D_\infty(K) + \frac{B(K)}{t}. \quad (6.3)$$

Точка с запятой здесь означает, что процесс диффузии состоит из двух частей: собственно диффузии (по импульсу) и некоего фона $B(K)$.

Пример диффузионной кинетики представлен на рис. 1 в [16]. Наибольший интерес и удивление вызывает самое начало этого процесса – плато, которое выглядит как настоящая диффузия. Зависимость $D(K) = K^2/3$ здесь точно та же самая, что и в противоположном пределе некоррелированного движения при больших $K \gg 1$, но только для короткого времени (тем короче, чем сильнее возмущение) (!) Непонятна также причина постоянства скорости диффузии на всем протяжении плато.

В настоящее время у нас нет объяснения столь странного эффекта.

В [16] найдено приближенное, но вместе с тем простое и аккуратное описание процесса диффузии во времени, согласующееся с качественной картиной (6.3)

$$D(t) \approx \frac{D_0 + \tau D_\infty}{(1 + \tau^\gamma)^{1/\gamma}}, \quad \tau = c\Lambda t \quad (6.4)$$

Здесь τ безразмерное время, $c \approx 1$ и $\gamma \approx 4$ подгоночные параметры. На рис.1 в [16] зависимости (6.4) представлены сплошными линиями в безразмерных переменных τ и $D^* = D/D_\infty$ где D_∞ асимптотическое

("настоящее") значение скорости диффузии. Для различных величин K эти кривые оказываются подобны и сходятся при $\tau \rightarrow \infty$.

Нас в основном интересовали распределения D при $D \rightarrow 0$ ("хвосты"). Как известно, форма хвоста является важной характеристикой критической структуры движения. Первое наблюдение такой структуры в присутствии виртуальных инвариантных кривых было сделано в [15].

Так как статистика далеких хвостов всегда бедная, то был использован эффективный вариант интегрального распределения с "плавающей" шириной ячейки (см. [25] и ссылки там). Этот метод называется также "упорядоченная статистика редких событий" (rank-ordering statistics of extreme events).

$$F(D) = \int_0^D f(D') dD' \approx \frac{j}{J}. \quad (6.5)$$

События $D(j)$ необходимо выстроить в восходящем порядке $D(j+1) > D(j)$, $j = 1, 2, \dots, J$ и тогда интегральная вероятность приблизительно равна отношению j/J .

Примеры измеренных распределений для различных времен счета приведены на рис.2 в [16]. Если распределение по импульсу p является гауссовым, то распределение D

$$f(D) = \frac{\alpha^\lambda}{\Gamma(\lambda)} D^{\lambda-1} e^{-\alpha D} \quad (6.6)$$

оказывается Γ -распределением Пирсона с параметрами $\alpha = \lambda = 1/2$. С учетом этого можно найти

$$f(D^*) = \frac{(D^*)^{-1/2} e^{-D^*/2}}{\sqrt{2\pi}} \rightarrow F(D^*) = \int_0^{D^*} f(D') dD' \rightarrow \sqrt{\frac{2}{\pi}} D^*, \quad (6.7)$$

где последнее выражение дает асимптотическую величину $D^* \rightarrow 0$, которая находится в очень хорошем согласии с эмпирическими данными вплоть до значений $D^* = 0.1$ (см. рис.2 в [16]).

Перейдем к обсуждению неэргодического случая $d > 0$, $\beta = 2$. Наиболее важной чертой движения при этом является, как отмечалось, наличие разделенного на регулярную и хаотическую компоненты фазового пространства. При построении диффузионной статистики влияние регулярной компоненты надо исключить. Стандартным приемом здесь является вычисление для каждой траектории показателя Ляпунова Λ , который определяет скорость локальной экспоненциальной неустойчивости движения [1,2,3]. Текущее значение этого показателя определялось соотношением

$$\Lambda(t) = \frac{\langle \ln \rho(t) \rangle}{t}, \quad (6.9)$$

где угловые скобки означают усреднение по всем траекториям. Заметим, что экспериментальный показатель Ляпунова $\Lambda(t)$, в отличие от теоретического, всегда зависит от времени.

На рис.3 в [16] приведены распределения $F(\Lambda)$ для $K = 0.45$ и $d = 1/2$, где наиболее интересной оказывается средняя область (она представлена относительно малым отрезком $\Delta F \approx 0.06$ правее $\Lambda \approx 0.03$), распределение в которой не зависит от времени движения и которая характеризует истинную критическую структуру.

Критические структуры всегда имеются при неэргодическом движении с его границами хаоса и являются частным и весьма важным случаем инвариантных кривых. Напомним, что имеется несколько различных типов таких структур. Первый - локальная инвариантная кривая (ЛИК), которая окружает любую регулярную область, не препятствует глобальной диффузии (ГД) и оказывается грубой (сохраняется при малых изменениях параметров K и d).

Более интересен второй тип – глобальные инвариантные кривые (ГИК), которые пересекают фазовый цилиндр и полностью блокируют ГД. Они не являются грубыми и существуют только при строго определенных критических значениях $K = K_{Q,n}$ (см. раздел 1). Отметим, что хотя множество значений $K = K_{Q,n}$ бесконечно, вероятность случайного попадания на него равна нулю.

Оказалось, что эффект присутствия ГИК при $K = K_{Q,n}$ сохраняется и в некоторой области вокруг $K_{Q,n}$! Мы называли такие ГИК виртуальными инвариантными кривыми (ВИК). Заметим, что ВИК, в отличие от ГИК, являются грубыми. ЛИК и ГИК создают критическую структуру движения со степенными критическими показателями.

На рис.4 в [16] даны три распределения $F(D^*)$ нормализованной скорости диффузии $D^* = D/D_{norm}$, где D_{norm} указывается в каждом конкретном случае и возле каждого распределения указаны его критические показатели.

Штриховая кривая, которая характеризуется в асимптотике $D \rightarrow 0$ степенным законом $c_0 = 0.5$, относится к эргодическому ("невозмущенному") случаю $d = 0$ без инвариантных кривых. Важным отличием неэргодической динамики от эргодической является то, что для первой все критические показатели меньше, чем для второй $c_n < c_0$ [4].

Первое распределение (верхняя сплошная кривая) для $K = 0.45$ находится далеко в области без ВИК (последние, согласно (2.5), возникают

при $K \leq K_B(d = 0.5) = 1/3$. Однако, регулярные траектории вместе с ЛИК и критической структурой присутствуют. В результате это распределение сильно отклоняется от невозмущенного распределения при $d = 0$. Такой тип критической структуры в узких слоях вокруг ЛИК изучен к настоящему времени достаточно хорошо, включая его отклонения от чисто степенной зависимости. Напомним, что при степенном законе имеет место точная масштабная инвариантность критической структуры как в пространстве, так и во времени. Колебания критического показателя вокруг среднего значения отражают хаотические флуктуации всей структуры фазовой плоскости вблизи границы хаоса при переходе от одного масштаба к другому [4]. Все это имеет место для обсуждаемого распределения со средним значением критического показателя $c_1 = 0.3$ и отклонениями от него $\sim (c'_1 - c_1) = 0.1$.

Картина качественно меняется при переходе к новому типу критической структуры, с которой мы неоднократно сталкивались и которая порождается ВИК, а не ЛИК.

Не являясь инвариантными кривыми, ВИК могут лишь имитировать ГИК на протяжении какого-то отрезка $\ln D$. ВИК, в отличие от ГИК, не блокируют ГД, а лишь подавляют ее за счет застревания траектории внутри очень сложной критической структуры. Это застревание тем сильнее (длиннее), чем меньше пространственный и/или дольше временной масштабы этой критической структуры. Для ВИК-структуры оба масштаба строго ограничены, но это ограничение тем слабее, чем выше плотность ВИК. В рассматриваемой системе плотность ВИК высока, что и обеспечивает сильное подавление ГД при любом K . Для ВИК-структуры типичны малые критические показатели (см. $c_2 = 0.09$ на рис.4), и потому вероятность подавления высока даже для короткой критической структуры. Такое медленное убывание вероятности подавления часто наблюдалось нами в численных экспериментах, но до сих пор не получило надежного объяснения.

Все это видно на рис.4 в верхней части распределения с критическим показателем $c_2 = 0.09$ и параметром $K = 0.335$ (точки). Возмущение здесь лишь слегка превышает границу (2.5) $K_B(0.5) = 1/3$ и попадает в область со множеством ВИК и отсутствием ГИК. В результате зона действия критического показателя $c_2 = 0.09$ весьма коротка $\Delta \ln D^* \approx 5$ по сравнению с полным диапазоном ≈ 25 . Большая часть этого распределения близка к невозмущенному, но не совпадает с ним. Означает ли это отсутствие критической структуры или ее резкое изменение при $\ln D \leq 2$ является интересным открытым вопросом.

Отметим также, что критический показатель второго распределения

$c_2 = 0.45$ оказался близок к локальному критическому показателю первого распределения $c_1 = 0.4$. Но первое распределение получено в области без ВИК и ГИК и чем оправдать такую близость – неясно.

Наконец, третье распределение на рис.4 в [16] (нижняя сплошная кривая) фактически совпадает с невозмущенным движением ($D_{norm} = D_\infty$), хотя относится к области со многими ВИК и сильно подавленной диффузией ($K = 0.3294$, см. рис.3 в [15]). Отклонения при малом D^* можно объяснить бедной статистикой. Однако совпадение этих двух распределений не только асимптотическое $F \rightarrow 0$, но полное, включая противоположный предел $F \rightarrow 1$, и это несмотря на наличие значительной регулярной компоненты движения. Все это также ждет своего объяснения.

Изучение зависимостей $D(K)$ при различных значениях параметра перекоса d обнаружило явное подобие в их поведении, что указывало на возможность их универсального описания. Нам удалось это сделать при дополнительном предположении $d \ll 1$ и построить в безразмерных переменных эмпирическую зависимость для границы основной диффузионной области (см. (5.16) в [15]). Это весьма простое соотношение неплохо описывает характерный резкий переход из хаотической области без инвариантных кривых с хорошо известной регулярной диффузией в также хаотическую область, но с плотной системой инвариантных кривых нового вида и с совершенно неизвестной очень нерегулярной фрактальной диффузией.

Вернемся вновь к нашему "простейшему" случаю с $d = 0$ и эргодическим движением (штриховая кривая на рис.4 в [16]). Можно ли здесь выявить какую-то структуру на том основании, что это распределение $F(D)$ также подчиняется степенному закону? Такой вопрос не возникает, если $K \gg 1$ и скорость диффузии подчиняется стандартной зависимости (6.2) $D \propto K^2$. Но при $K \ll 1$ эта зависимость (6.1) качественно иная $D \propto K^{5/2}$ и, что самое главное, в работе [15] она была фактически найдена из резонансной структуры движения. Для неэргодической динамики с разделенным фазовым пространством такая структура была бы четко видна.

Мы предполагаем, что и в обсуждаемом случае некоторая подобная структура существует. Но обусловлена она сильными скрытыми временными корреляциями, а не пространственной геометрией фазового пространства. Если это так, то затухание корреляций вообще может быть не степенным. В модели [26], например, такое "скрытое" затухание оказалось чисто экспоненциальным (см. там рис.6). Может ли такое качественное отличие зависеть от частных характеристик критической структуры? Этот вопрос также остается открытым.

7 Заключение

Исследование семейств гладких гамильтоновых систем с кусочно-линейной силой, начатое математической работой Булита, обнаружило новую и во многом необычную (или лучше сказать – непривычную) динамику.

Сохранение сепаратрис нелинейных резонансов при наличии хаоса и полное подавление диффузии в критических режимах, фрактальный характер этой диффузии в окрестности (по параметру возмущения) таких режимов, периодическая и степенная зависимость интегралов Мельникова-Арнольда от частоты и другие эффекты не имеют аналогов в случае аналитических гамильтонианов. Открытие этих эффектов заставляет пересмотреть некоторые, казалось бы надежно установленные, представления. К числу последних относятся утверждения о том, что возмущение всегда в первую очередь разрушает сепаратрисы резонансов с рациональными числами вращения, а инвариантные кривые с иррациональными числами вращения разрушаются в последнюю очередь.

Особенно богатый набор открытых и ждущих своего решения вопросов породило изучение диффузии в системах с кусочно-линейной силой, см. раздел 6.

Поиск ответов на все эти вопросы, также как и поиск других систем с таким же или близким динамическим поведением необходимо, по нашему мнению, продолжить.

Работа выполнена при частичной финансовой поддержке комплексной научной программы РАН "Математические методы в нелинейной динамике".

Список литературы

- [1] B.V. Chirikov. *Phys. Reports*, **52**, 263 (1979).
- [2] A. Lichtenberg and M. Leiberman. *Regular and Chaotic Dynamics*, Springer, Berlin, (1992).
- [3] Г.М. Заславский, Р.З. Сагдеев. *Введение в нелинейную физику*, Наука, Москва (1988).
- [4] B.V. Chirikov, *Chaos, Solitons and Fractals*, **1**, 79 (1991).
- [5] J.Moser, *Stable and Random Motion in Dynamical Systems*, Princeton University Press, Princeton (1973).

- [6] B.V. Chirikov, E. Keil and A. Sessler. J. Stat. Phys., **3**, 307 (1971).
- [7] M. Hénon, J. Wisdom. Physica D, **8**, 157 (1983).
- [8] S. Bullett, Commun. Math. Phys., **107**, 241 (1986).
- [9] M. Wojtkowski. Commun. Math. Phys., **80**, 453 (1981); Ergodic Theory Dyn. Syst., **2**, 525 (1982).
- [10] Л.В. Овсянников. Частное сообщение, май 1999.
- [11] В.В. Вечеславов. *Необычная динамика пилообразного отображения*, Препринт ИЯФ 99-69, Новосибирск, 1999.
- [12] В.В. Вечеславов. *Динамика пилообразного отображения: 1. Новые численные результаты*. Препринт ИЯФ 2000-27, Новосибирск, 2000; E-print archive nlin.CD/0005048.
- [13] В.В. Вечеславов. ЖЭТФ, **119**, вып.4, 853 (2001).
- [14] В.В. Вечеславов, Б.В. Чириков. ЖЭТФ, **120**, вып.3, 740 (2001).
- [15] В.В. Вечеславов, Б.В. Чириков. ЖЭТФ, **122**, вып.1, 175 (2002).
- [16] B.V. Chirikov and V.V. Vecheslavov. ЖЭТФ, **122**, вып.3, 647 (2002).
- [17] В.В. Вечеславов. ЖТФ, **73**, вып.9, 1 (2003).
- [18] В.В. Вечеславов. ЖТФ, **74**, вып.5, 1 (2004).
- [19] В.В. Вечеславов. ЖТФ, **58** вып.1, 20 (1988).
- [20] В.В. Вечеславов. ЖТФ, **72** вып.2, 20 (2002).
- [21] В.В. Вечеславов. ЖЭТФ, **125**, вып.2, 399 (2004).
- [22] В.В. Вечеславов. ЖЭТФ, **109**, вып.6, 2208 (1996).
- [23] В.В. Вечеславов. ПЖЭТФ, **63**, вып.12, 989 (1996).
- [24] I. Dana, N. Murray, and I. Percival. Phys. Rev. Lett., **62**, 233 (1989).
- [25] D. Sornette, L. Knopoff, Y. Kagan and C. Vanneste, J. Geophys. Research, **101**, 13883 (1996).
- [26] B.V. Chirikov. *Poincaré recurrences in microtron and the global critical structure*, preprint, Budker INP 1999-7, 1999.

В.В. Вечеславов

**Динамика гамильтоновых систем
с кусочно-линейной силой**

V.V. Vecheslavov

**Dynamics of the Hamiltonian systems
with piecewise-linear force**

ИЯФ 2004-54

Ответственный за выпуск А.М. Кудрявцев
Работа поступила 15.07.2004 г.

Сдано в набор 19.07.2004 г.

Подписано в печать 20.07.2004 г.

Формат бумаги 60×90 1/16 Объем 1.7 печ.л., 1.4 уч.-изд.л.

Тираж 90 экз. Бесплатно. Заказ № 54

Обработано на IBM PC и отпечатано на
ротапринте ИЯФ им. Г.И. Будкера СО РАН
Новосибирск, 630090, пр. академика Лаврентьева, 11.